

# Journal of Electrochemistry

---

Volume 15 | Issue 4

---

2009-11-28

## Complex Reduction Preparation of Carbon Supported Pd Nanoparticle Catalyst and its Electrocatalysis for Formic Acid Oxidation

Wei HE

Yong-yin KANG

Chong DU

Zhi-qing ZOU

Xiao-gang ZHANG

Hui YANG

---

### Recommended Citation

Wei HE, Yong-yin KANG, Chong DU, Zhi-qing ZOU, Xiao-gang ZHANG, Hui YANG. Complex Reduction Preparation of Carbon Supported Pd Nanoparticle Catalyst and its Electrocatalysis for Formic Acid Oxidation[J]. *Journal of Electrochemistry*, 2009 , 15(4): 382-386.

DOI: 10.61558/2993-074X.2012

Available at: <https://jelectrochem.xmu.edu.cn/journal/vol15/iss4/4>

文章编号 : 1006-3471(2009)04-382-05

# 络合还原法制备碳载钯纳米粒子及其电催化甲酸氧化

何 卫<sup>1</sup>, 康永印<sup>2</sup>, 杜 猛<sup>2</sup>, 邹志青<sup>2</sup>, 张校刚<sup>1</sup>, 杨 辉<sup>2\*</sup>

(1. 南京航空航天大学材料科学与技术学院, 江苏南京 210016;

2 中国科学院上海微系统与信息技术研究所, 上海 200050)

**摘要:** 应用柠檬酸钠络合还原法制备了粒径小、分布均匀的碳载 Pd 纳米粒子 (Pd/C)。由于柠檬酸钠的络合作用,有效地降低了 Pd 粒子在形成过程中的团聚。经过简单的热处理调控 Pd 粒子大小,发现随热处理温度的升高,Pd 粒子直径由初始的 2.7 nm 增大到 5.8 nm 左右。电化学测试表明 Pd/C 的 Pd 粒子尺寸越小,电催化甲酸氧化的质量比活性越高,但如当 Pd 粒径较大,则催化剂呈现出更高的面积比活性。Pd 粒径为 3.6 nm 的催化剂,其电催化甲酸氧化的稳定性最好。

**关键词:** Pd/C 催化剂; 柠檬酸钠; 络合还原; 甲酸氧化; 尺寸效应

**中图分类号:** O646

**文献标识码:** A

与直接甲醇燃料电池相比,直接甲酸燃料电池 (DFAFC) 具有能量转化效率高、甲酸渗透率低,且无毒、不易燃,对环境污染小,因此,DFAFC 非常适合于在室温或低温下使用的微小型移动式电源。

早期,关于甲酸氧化电催化剂的研究主要是 Pt 基催化剂。甲酸在铂基催化剂上的氧化主要经历两个平行的反应途径,即“直接反应途径”和“CO 反应途径”<sup>[1]</sup>,后者导致了 Pt 很容易被甲酸氧化的中间物种所中毒而失去活性。最近的研究表明,Pd 基催化剂对甲酸氧化呈现出更高的电催化活性<sup>[2-4]</sup>,且其氧化过程主要是经历“直接反应途径”形成 CO<sub>2</sub>,从而消除了催化剂的中毒。研究表明:Pd 纳米粒子尺寸越小,其电催化甲酸氧化的活性越高<sup>[5-6]</sup>。因此如何制备出粒径小且分布均匀的 Pd 基催化剂是现今研究的一个热点。为避免常见的合成方法因 Pd 离子直接被还原形成的 Pd 纳米粒子团聚,可以采用还原能力较弱的还原剂制备,亦可以通过加入聚合物作为保护剂以期获得粒径较小的纳米粒子。但是,加入聚合物保护剂会占据

Pd 纳米粒子表面活性位,从而降低了其电催化活性。最近,陈滢等<sup>[7]</sup>利用 Na<sub>2</sub>CO<sub>3</sub> 和 PdCl<sub>2</sub> 之间形成配合物,再经 NaBH<sub>4</sub> 还原制得了粒径较小的 Pd/C 催化剂,该催化剂对甲酸氧化呈现出高的电催化活性。孙公权等<sup>[8]</sup>使用乙二醇还原 Pd-NH<sub>3</sub> 络合物前驱体合成了粒径较小的 Pd/C 催化剂,然而该方法很难完全将 Pd-NH<sub>3</sub> 络合物还原出,故随后必须经过 H<sub>2</sub> 气氛还原热处理。

本工作采用柠檬酸钠作为络合剂,利用它与 Pd 离子形成配合物,再经过乙二醇还原制备出粒径小、分散度高的 Pd/C 催化剂,借助简单的热处理调控 Pd 纳米粒子的大小,进而研究 Pd 粒子尺寸对催化剂质量比活性、面积比活性以及稳定性的影晌。

## 1 实验

称取一定量柠檬酸钠溶于乙二醇,再加入 PdCl<sub>2</sub> 和乙二醇的混合溶液,搅拌一夜后得到黄色的透明溶液。调节溶液 pH 到 12 以上,加入 XC-72 碳均匀混合,然后在 N<sub>2</sub> 保护下油浴加热到 100

收稿日期: 2009-06-17, 修订日期: 2009-07-24 \*通讯作者, Tel: (86-21) 62511070, Email: hyang@mail.scm.ac.cn

国家科技部“863”计划(2007AA05Z141、2006AA05Z136)、国家自然科学基金(20673136、20706056)和中国科学院“百人计划”择优支持

反应4 h,缓慢冷却到室温,经洗涤、抽滤、75真空干燥得到Pd载量为20%的Pd/C催化剂,记作Pd/C-100。将制成的Pd/C催化剂于N<sub>2</sub>气氛中分别于150,200和250热处理2 h,获得具有不同粒径大小的Pd/C催化剂,分别记为Pd/C-150,Pd/C-200和Pd/C-250。

催化剂的X射线衍射(XRD)表征使用D/MAX-2000X射线衍射仪(日本理学),CuK辐射源( $\lambda=0.154\text{056 nm}$ ),管电压40 kV、电流100 mA,滤波片为Ni,扫描速率2%min,扫描角度范围20°~90°,分辨率0.02°。透射电镜(TEM)测试使用JEOL JEM 2100F仪,加速电压200 kV。

电化学测试采用三电极体系,电解液为0.1 mol·L<sup>-1</sup> HClO<sub>4</sub>或0.1 mol·L<sup>-1</sup> HClO<sub>4</sub>+0.1 mol·L<sup>-1</sup> HCOOH溶液。工作电极制备如下:称取10.0 mg上述Pd/C催化剂,加入2.5 mL超纯水、0.5 mL 5% (by mass) Nafion溶液超声30 min形成墨状浆液,用10 μL微量注射器吸取3 μL滴在直径为3 mm的玻碳电极(GC)表面,室温下自然凉干,电极表面Pd的载量为28 μg·cm<sup>-2</sup>。对电极为大面积的GC片,参比电极为饱和甘汞电极(SCE),但文中所述电位均相对于标准氢电极(RHE)。电化学测试前,向溶液中通高纯N<sub>2</sub>30 min以除去溶液中氧气,实验过程中通N<sub>2</sub>保护。CO溶出伏安实验中,于0.05 V/RHE恒定电位下吸附CO 15 min,再通入N<sub>2</sub>30 min驱除溶液中溶解的CO。

以上电化学测试温度均为25±1。

## 2 结果与讨论

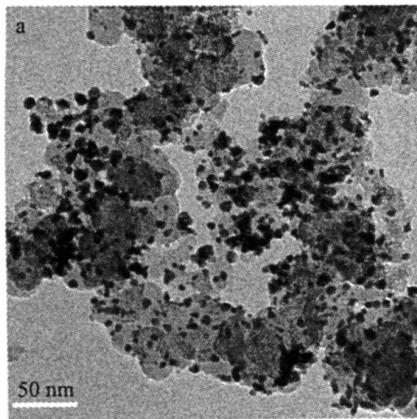


图2 络合还原法制得的Pd/C催化剂的TEM照片(a)及其粒径分布(b)

Fig 2 TEM image of the Pd/C-100 catalyst (a) and its particle size distribution histogram (b)

### 2.1 柠檬酸钠络合还原法制备的Pd/C催化剂的光谱及形貌特征

图1为PdCl<sub>2</sub>溶液中添加柠檬酸钠前后的UV-vis吸收谱。由图可见,添加柠檬酸钠后,在256 nm处出现一个新的吸收峰,这应当是PdCl<sub>2</sub>与柠檬酸钠之间形成的配合物特征谱峰。线性扫描伏安测试表明柠檬酸钠与PdCl<sub>2</sub>形成配合物后导致了Pd离子的起始还原电位降低,应有利于粒径较小且分布均匀的Pd/C催化剂的制备<sup>[9-10]</sup>。

由柠檬酸钠络合还原法制得的Pd/C催化剂的TEM照片及其对应的粒径分布统计如图2所示。由图可见,当中的Pd粒子均匀地分布在碳载体表面,粒径统计得出Pd纳米粒子的平均直径在

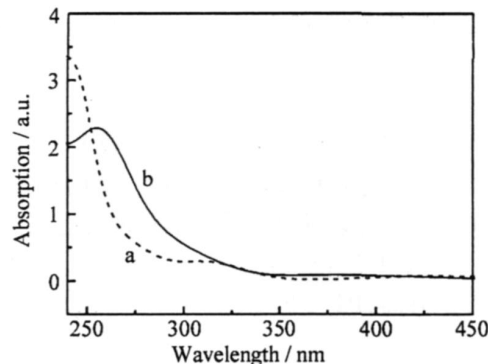


图1 不含(a)和含(b)柠檬酸钠的PdCl<sub>2</sub>溶液的UV-vis吸收谱

Fig 1 UV-vis absorption spectra of the PdCl<sub>2</sub> solution without (a) and with (b) sodium citrate

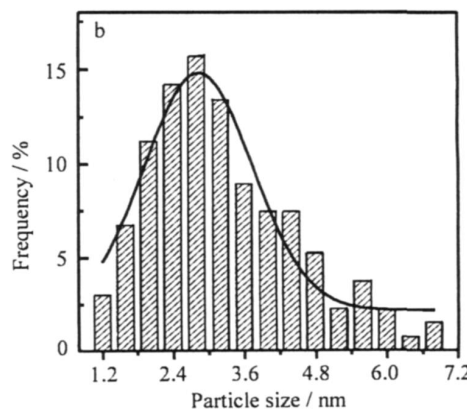


图2 络合还原法制得的Pd/C催化剂的TEM照片(a)及其粒径分布(b)

Fig 2 TEM image of the Pd/C-100 catalyst (a) and its particle size distribution histogram (b)

$2.7 \pm 0.2$  nm 左右。由此可见,柠檬酸钠络合还原能有效地抑制 Pd 粒子的团聚,从而获得了粒径小、粒子大小分布窄的 Pd/C 催化剂。

## 2.2 热处理对 Pd/C 催化剂粒径和性能的影响

图 3 为经不同温度热处理的 Pd/C 催化剂的 XRD 图谱。图中于  $24.2^\circ$  处显示的衍射峰对应于 XC-72 碳的 C(002) 晶面,其它位于  $40^\circ$ 、 $46^\circ$ 、 $67^\circ$  和  $80^\circ$  附近的衍射峰分别对应于 Pd(111)、Pd(200)、Pd(220)、Pd(311) 晶面,表明 Pd/C 催化剂中的 Pd 是以面心立方结构存在,而且,其衍射峰强度随热处理温度的升高而逐渐增强,并同时向高角度偏移,这相当于该催化剂的 Pd 粒径随热处理温度升高而增大,结晶度也逐渐提高。利用 Scherrer 方程计算 Pd/C 催化剂的 Pd 粒径,按热处理升温顺序依次约为:  $2.7$ 、 $3.6$ 、 $4.3$  和  $5.8$  nm。图 4 为经不同温度热处理的 Pd/C 催化剂的 CO 溶出伏安曲线,CO 氧化峰电位均在  $0.83$  V 左右。假设 Pd 表面吸附的 CO 氧化电量为  $420 \mu\text{C} \cdot \text{cm}^{-2}$ <sup>[11]</sup>, 则根据 CO 溶出峰的面积可以计算出不同催化剂的电化学活性比表面积 (ECSA), 结果列于表 1。可见, 随热处理温度的升高, Pd/C 的 Pd 粒径增大, 其 ECSA 随之减小。

图 5 为经不同温度热处理的 Pd/C 催化剂在  $0.1 \text{ mol} \cdot \text{L}^{-1} \text{ HCO}_4 + 0.1 \text{ mol} \cdot \text{L}^{-1} \text{ HCOOH}$  溶液中的循环伏安曲线。通常认为, 甲酸在 Pd 催化剂上的电氧化基本没有毒化物种 (如 CO) 形成, 所以 Pd 对甲酸氧化呈现了很高的电催化活性。如图, 正向扫描时出现一个强的甲酸氧化电流峰; 当电位  $> 0.6$  V 时, 由于 Pd 颗粒表面开始氧化, 氧化电流逐渐减小, 随电位的进一步升高, 甲酸氧化的电流降低到零附近; 负向扫描时, Pd 颗粒表面的 PdO 开始被还原, 这时又重新出现 Pd 活性位使得甲酸氧化

电流有个突然的上升<sup>[4]</sup>。依图可见, 对于不同温度热处理的 Pd/C 催化剂, 其电催化甲酸氧化电流大小的次序为 Pd/C-100 > Pd/C-150 > Pd/C-200 > Pd/C-250。在  $0.3$  V 下甲酸氧化的质量比活性 (MA) 和面积比活性 (SA) 如表 1 所列。很明显, Pd

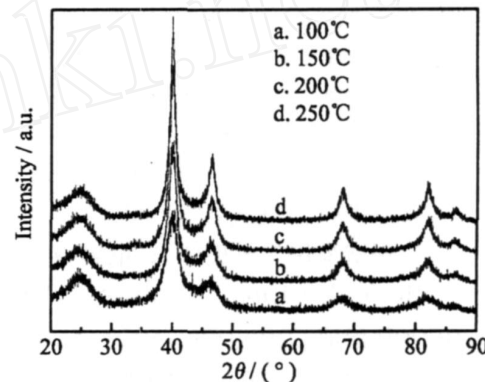


图 3 不同温度热处理的 Pd/C 催化剂的 XRD 图谱

Fig. 3 XRD patterns of the Pd/C catalysts heat-treated at various temperatures

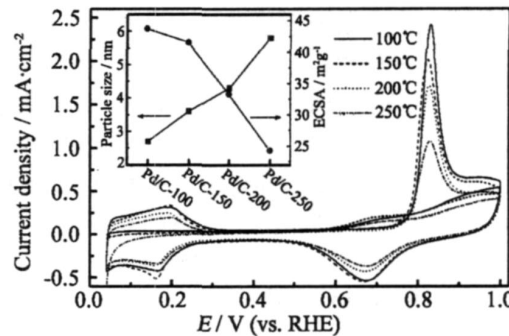


图 4 Pd/C 催化剂的 CO 溶出伏安曲线

Fig. 4 CO stripping voltammograms of the Pd/C catalysts in  $0.1 \text{ mol} \cdot \text{L}^{-1} \text{ HClO}_4$  solution  
scan rate:  $20 \text{ mV} \cdot \text{s}^{-1}$ , inset Pd particle size and ECSA as a function of potential

表 1 Pd/C 催化剂的相关参数

Tab. 1 The parameters of Pd/C catalysts

Sample	Particle size / nm	ECSA / $\text{m}^2 \cdot \text{g}^{-1}$	MA / $\text{mA} \cdot \text{mg}^{-1}$	SA / $\text{mA} \cdot \text{cm}^{-2}$
Pd/C-100	2.7	43.73	936.07	2.12
Pd/C-150	3.6	41.55	823.93	1.97
Pd/C-200	4.3	33.30	757.14	2.25
Pd/C-250	5.8	24.27	733.57	2.99

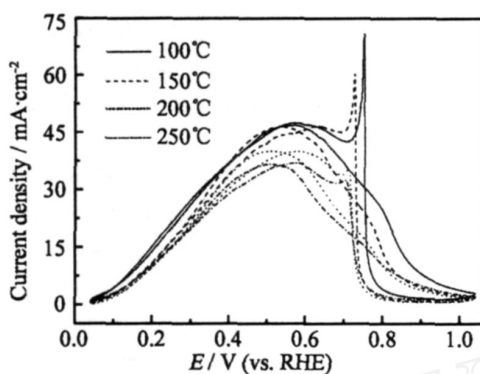


图 5 经不同温度热处理的 Pd/C 催化剂在  $0.1\text{ mol}\cdot\text{L}^{-1}$   $\text{HClO}_4 + 0.1\text{ mol}\cdot\text{L}^{-1}$   $\text{HCOOH}$  溶液中的循环伏安曲线 扫描速率:  $50\text{ mV}\cdot\text{s}^{-1}$

Fig 5 Cyclic voltammograms of the Pd/C-100, Pd/C-150, Pd/C-200 and Pd/C-250 in  $0.1\text{ mol}\cdot\text{L}^{-1}$   $\text{HClO}_4 + 0.1\text{ mol}\cdot\text{L}^{-1}$   $\text{HCOOH}$  solutions  
scan rate:  $50\text{ mV}\cdot\text{s}^{-1}$

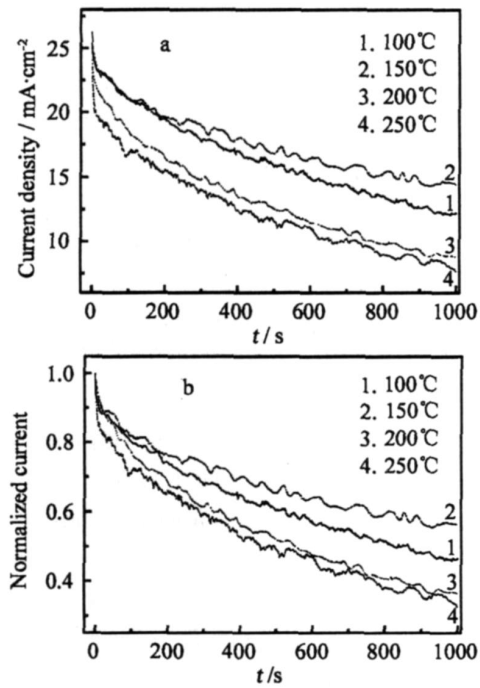


图 6 Pd/C 催化剂于  $0.3\text{ V}$  下电催化甲酸氧化 (a) 及其归一化的计时电流曲线 (b)

Fig 6 Chronoamperometric curves of the Pd/C catalysts at a given potential of  $0.3\text{ V}/\text{RHE}$  (a) and its normalized current-time curves (b)

粒径越小,其质量比活性越高,而面积比活性在 Pd 粒径为  $5.8\text{ nm}$  时达到最大,这可归因于 Pd 粒子的

“尺寸效应”,与文献报道的结果相一致。最近 Zhou 等<sup>[12]</sup>也证实:Pd 尺寸越小,其电催化甲酸氧化的活性越高,而面积比活性与 Pd 尺寸大小则呈“火山型”的关系,当 Pd 粒径为  $5\sim 6\text{ nm}$  时,面积比活性最大。可见 Pd/C 催化剂对甲酸的氧化是结构敏感的。

图 6 进一步示出经不同温度热处理的 Pd/C 催化剂在  $0.1\text{ mol}\cdot\text{L}^{-1}$   $\text{HClO}_4 + 0.1\text{ mol}\cdot\text{L}^{-1}$   $\text{HCOOH}$  溶液中,恒定电位  $0.3\text{ V}$  时的计时电流曲线。显然,催化剂电催化甲酸氧化的初始活性与循环伏安结果一致。但经过  $1000\text{ s}$  极化后,  $150^\circ\text{C}$  热处理的催化剂具有最高的催化活性和较好的稳定性,其次是 Pd/C-100, Pd/C-200 和 Pd/C-250 催化剂。

### 3 结 论

由柠檬酸钠络合还原法制备的 Pd/C 催化剂粒径较小且分布均匀,该方法具有步骤简单、易于操作等特点,并可利用简单的热处理调控 Pd 纳米粒子的大小。Pd/C 催化剂的 Pd 粒子粒径越小,其电催化甲酸氧化的活性越高,而粒径较大时则呈现出更高的面积比活性。综合考虑,当粒径为  $3.6\text{ nm}$  时催化剂呈现出高的电催化活性和最佳的稳定性。

### 参 考 文 献 (References):

- [1] Sun S G, Clavilier J, Bewick A. The mechanism of electrocatalytic oxidation of formic acid on Pt (100) and Pt (111) in sulphuric acid solution: an EMIRS study [J]. J Electroanal Chem, 1988, 240 (1/2): 147-159.
- [2] Zhang L L, Tang Y W, Bao J C, et al. A carbon-supported Pd-P catalyst as the anodic catalyst in a direct formic acid fuel cell [J]. J Power Sources 2006, 162 (1): 177-179.
- [3] Wang J, Kang Y, Yang H, et al. Boron-doped palladium nanoparticles on carbon black as a superior catalyst for formic acid electro-oxidation [J]. J Phys Chem C, 2009, 113 (19): 8366-8372.
- [4] Hoshi N, Kida K, Nakamura M, et al. Structural effects of electrochemical oxidation of formic acid on single crystal electrodes of palladium [J]. J Phys Chem B, 2006, 110 (25): 12480-12484.
- [5] Park S, Xie Y, Weaver M J. Electrocatalytic pathways on carbon-supported platinum nanoparticles: Comparison of particle-size-dependent rates of methanol, formic

- acid, and formaldehyde electrooxidation [J]. Langmuir, 2002, 18(15): 5792-5798.
- [6] Kim J, Jung C, Rhee C K, et al Electrocatalytic oxidation of formic acid and methanol on Pt deposits on Au (111) [J]. Langmuir, 2007, 23(21): 10831-10836.
- [7] Chen Y(陈滢), Tang YW(唐亚文), Gao Y(高颖), et al Electrocatalytic performance of Pd/C catalyst prepared with improved liquid phase reduction method for oxidation of formic acid [J]. Chinese Journal of Inorganic Chemistry (in Chinese). 2008, 24 (4): 560-564.
- [8] Li H Q, Sun G Q, Jiang Q A, et al Synthesis of highly dispersed Pd/C electro-catalyst with high activity for formic acid oxidation [J]. Electrochim Commun, 2007, 9 (6): 1410-1415.
- [9] Zhu Y, Kang Y, Zou Z, et al A facile preparation of carbon-supported Pd nanoparticles for electrocatalytic oxidation of formic acid [J]. Electrochim Commun, 2008, 10 (5): 802-805.
- [10] Chen Y, Tang Y W, Liu C P, et al Room temperature preparation of carbon supported Pt-Ru catalysts [J]. J Power Sources, 2006, 161 (1): 470-473.
- [11] Meng H, Sun S, Masse J, et al Electrosynthesis of Pd single-crystal nanowhiskers and their application in the oxidation of formic acid [J]. Chem Mater, 2008, 20 (22): 6998-7002.
- [12] Zhou W J, Lee J Y. Particle size effects in Pd-catalyzed electrooxidation of formic acid [J]. J Phys Chem C, 2008, 112 (10): 3789-3793.

## Complex Reduction Preparation of Carbon Supported Pd Nanoparticle Catalyst and its Electrocatalysis for Formic Acid Oxidation

HE We<sup>1</sup>, KANG Yong-yin<sup>2</sup>, DU Chong<sup>2</sup>, ZOU Zhi-qing<sup>2</sup>,  
ZHANG Xiao-gang<sup>1</sup>, YANG Hui<sup>2\*</sup>

(1. College of Materials Science and Engineering, Nanjing University of Aeronautics  
and Astronautics, Nanjing 210016, China;

2 Energy Science and Technology Laboratory, Shanghai Institute of Microsystem  
and Information Technology, Chinese Academy of Sciences, Shanghai 200050, China)

**Abstract:** A simple procedure involved the complexing of PdCl<sub>2</sub> with sodium citrate followed by ethylene glycol reduction has been employed for the preparation of carbon-supported Pd nanoparticles (Pd/C). The XRD and TEM characterizations indicate that Pd nanoparticles with a small particle size were well-dispersed on carbon support. The mean particle sizes of the Pd/C catalysts were found to be increased from 2.7 to 5.8 nm with heat-treatments at different temperature. The mass activity of the Pd/C catalyst for formic acid electrooxidation increased with the decrease in Pd particle size. However, the specific activity increased with Pd particle size. Furthermore, the Pd/C catalyst with a particle size of ca. 3.6 nm exhibited the best stability.

**Key words:** Pd/C catalyst; sodium citrate; complex-reduction; formic acid oxidation; particle size effect